

# Analiza periodičkih struktura s naglaskom na fotoničke kristale i izračun disperzijskog dijagrama

---

Darko Janeković

23. listopada 2018.

Fakultet elektrotehnike i računarstva, Zagreb

# Periodičke strukture i fotonički kristali

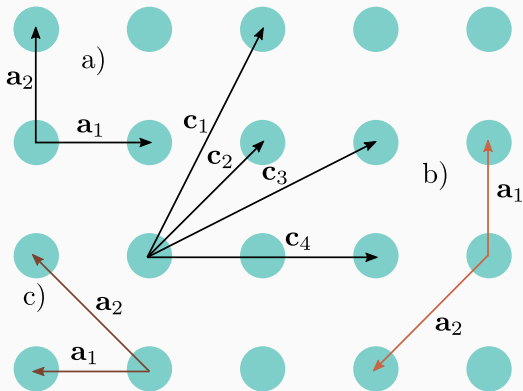
---

# Periodičke strukture i fotonički kristali

- Periodička struktura je pravilna rešetkasta struktura u kojoj se elementi periodički ponavljaju.
- Fotonički kristali su periodički strukturirani elektromagnetski mediji koji generalno posjeduju svojstvo da određeno polarizirana svjetlost na određenim frekvencijama ne propagira kroz strukturu.
  - periodički na način da zadovoljavaju diskretnu translacijsku simetriju.

$$f(\mathbf{r}) = f(\mathbf{r} + \mathbf{R}), \text{ gdje je } \mathbf{R} = n\mathbf{a}, n \in \mathbb{Z} \quad (1)$$

# Primjer kristalne rešetke



**Slika 1:** Kvadratna kristalna rešetka s ucrtane 3 opcije za odabir baznih vektora  $\mathbf{a}_1$  i  $\mathbf{a}_2$ . Linearna kombinacija vektora  $\mathbf{a}_1 = a\mathbf{i}$  i  $\mathbf{a}_2 = a\mathbf{j}$  (opcija pod a) tvori sve ostale vektore odnosno sva ostala čvorišta kristala. Konkretno,  $\mathbf{c}_1 = \mathbf{a}_1 + 2\mathbf{a}_2$ ,  $\mathbf{c}_2 = \mathbf{a}_1 + \mathbf{a}_2$ ,  $\mathbf{c}_3 = 2\mathbf{a}_1 + \mathbf{a}_2$ ,  $\mathbf{c}_4 = 2\mathbf{a}_1$

# Wigner-Seitzova ćelija, inverzna rešetka i Brillouinova zona

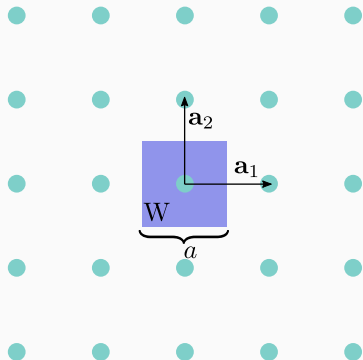
- Wigner-Seitzova ćelija primjer je primitivne ćelije koja sadrži samo jedno čvorište i predstavlja skup točaka u prostoru koji je bliži jednom čvorištu od bilo kojeg drugog čvorišta.
- Inverzna rešetka uvodi se za prikaz valnih vektora u Fourierovom razvoju periodičnih funkcija.

$$\mathbf{R} \cdot \mathbf{G} = (n_1 \mathbf{a}_1 + n_2 \mathbf{a}_2 + n_3 \mathbf{a}_3) \cdot (m_1 \mathbf{b}_1 + m_2 \mathbf{b}_2 + m_3 \mathbf{b}_3) = 2\pi \mathbb{N},$$

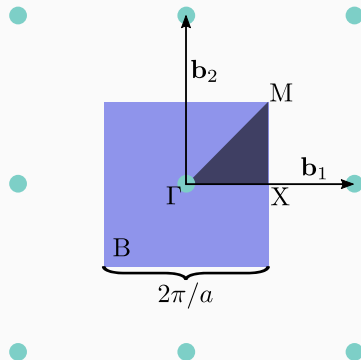
gdje je  $n_i, m_i \in \mathbb{Z}$

(2)

# Primjer primitivne i inverzne rešetke



**(a)** Kvadratna rešetka u realnom prostoru s ucrtanim baznim vektorima i označenom Wigner-Seitzovom ćelijom.

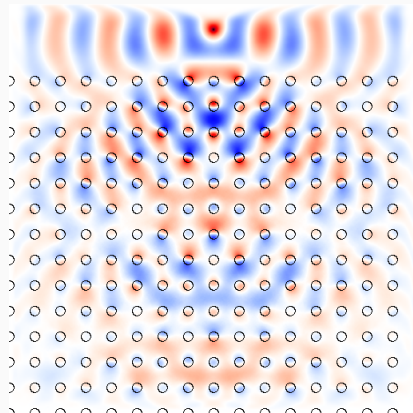


**(b)** Kvadratna rešetka u inverznom prostoru s označenom prvom Brillouinovom zonom.

# Blochov teorem

*Polje u periodičkoj strukturi  
poprimit će isti period kao i  
period te strukture.*

$$\mathbf{E}(\mathbf{r}) = \mathbf{A}_{\beta}(\mathbf{r}) \cdot e^{j\beta \cdot \mathbf{r}} \quad (3)$$



**Slika 2:** Vizualizacija Blochovog teorema metodom konačnih diferencija u vremenskoj domeni (FDTD)

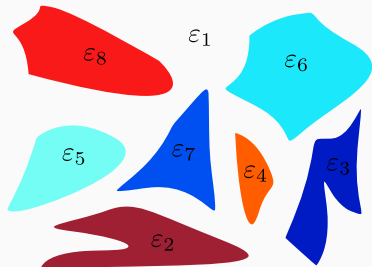
# Izvod valne jednačbe za propagaciju u sredstvu s nehomogenim dielektrikom

---



# Opis problema

- Zadatak je izvesti valnu jednadžbu za materijal prikazan na slici 3.
- Struktura ne mijenja konfiguraciju u vremenu i nema slobodnih naboja.
- Pretpostavlja se linearni režim, izotropnost materijala i  $\mu_r = 1$ .



**Slika 3:** Model strukture u kojoj propagira val.

Nakon uvrštavanja ranije raspravljenih pretpostavki,  
Maxwellove jednađbe poprimaju sljedeći oblik:

$$\begin{aligned}\nabla \cdot (\varepsilon_r(\mathbf{r})\mathbf{E}(\mathbf{r}, t)) &= 0 & \nabla \times \mathbf{E}(\mathbf{r}, t) &= -\mu_0 \frac{\partial \mathbf{H}(\mathbf{r}, t)}{\partial t} \\ \nabla \cdot \mathbf{H}(\mathbf{r}, t) &= 0 & \nabla \times \mathbf{H}(\mathbf{r}, t) &= \varepsilon_0 \varepsilon_r(\mathbf{r}) \frac{\partial \mathbf{E}(\mathbf{r}, t)}{\partial t}\end{aligned}$$

## Rastav polja na prostornu i vremensku komponentu

- Budući da je pretpostavljen linearni režim moguće je razdvojiti prostornu i vremensku komponentu koristeći sljedeći zapis:

$$\mathbf{H}(\mathbf{r}, t) = \mathbf{H}(\mathbf{r})e^{-i\omega t} \quad (4)$$

Nakon uvršavanja 4, Maxwellove jednačbe poprimaju sljedeći oblik:

$$\begin{aligned} \nabla \cdot (\varepsilon_r(\mathbf{r})\mathbf{E}(\mathbf{r})) &= 0 & \nabla \times \mathbf{E}(\mathbf{r}) &= i\omega\mu_0\mathbf{H}(\mathbf{r}) \\ \nabla \cdot \mathbf{H}(\mathbf{r}) &= 0 & \nabla \times \mathbf{H}(\mathbf{r}) &= -i\omega\varepsilon_0\varepsilon_r(\mathbf{r})\mathbf{E}(\mathbf{r}) \end{aligned}$$

# Valna jednađba za propagaciju vala u nehomogenom dielektriku

- Djelujući operatorom rotora na Ampere-Maxwellov zakon dobiva se valna jednađba u sljedećem obliku:

$$\nabla \times \left( \frac{1}{\varepsilon_r(\mathbf{r})} \nabla \times \mathbf{H}(\mathbf{r}) \right) = \left( \frac{\omega}{c} \right)^2 \mathbf{H}(\mathbf{r}) \quad (5)$$

- Ako se operator  $\nabla \times \frac{1}{\varepsilon_r(\mathbf{r})} \nabla \times$  zamijeni s  $\hat{\Theta}$  dobiva se uobičajena forma svojstvenog problema.

$$\hat{\Theta} \mathbf{H}(\mathbf{r}) = \left( \frac{\omega}{c} \right)^2 \mathbf{H}(\mathbf{r}) \quad (6)$$

- operator  $\hat{\Theta}$  je hermitski
  - vrijedi  $(\mathbf{F}, \hat{\Theta}\mathbf{G}) = (\hat{\Theta}\mathbf{F}, \mathbf{G})$ .
  - moguće je analizirati njegov Rayleighov kvocijent  $R(\hat{\Theta}, \mathbf{H}(\mathbf{r}))$ .

$$R(\hat{\Theta}, \mathbf{H}(\mathbf{r})) = \frac{\omega^2/c^2 (\mathbf{H}(\mathbf{r}), \mathbf{H}(\mathbf{r}))}{\omega^2/c^2 (\mathbf{H}(\mathbf{r}), \hat{\Theta}\mathbf{H}(\mathbf{r}))} = \frac{\iiint |\nabla \times \mathbf{E}(\mathbf{r})|^2 d^3\mathbf{r}}{\iiint \varepsilon_r(\mathbf{r}) |\mathbf{E}(\mathbf{r})|^2 d^3\mathbf{r}} \quad (7)$$

# Valna jednačba za propagaciju vala unutar periodičke strukture

- Koristeći valnu jednačbu izvedenu ranije i uvrštavajući Blochov val umjesto  $\mathbf{H}(\mathbf{r})$  dobiva se:

$$\begin{aligned}\nabla \times \frac{1}{\varepsilon_r(\mathbf{r})} \nabla \times \mathbf{H}_\beta(\mathbf{r}) \cdot e^{j\beta \cdot \mathbf{r}} &= \left( \frac{\omega(\beta)}{c} \right)^2 \mathbf{H}_\beta(\mathbf{r}) \cdot e^{j\beta \cdot \mathbf{r}} \\ (\nabla + j\beta) \times \frac{1}{\varepsilon_r(\mathbf{r})} (\nabla + j\beta) \times \mathbf{H}_\beta(\mathbf{r}) &= \left( \frac{\omega(\beta)}{c} \right)^2 \mathbf{H}_\beta(\mathbf{r}) \quad (8)\end{aligned}$$

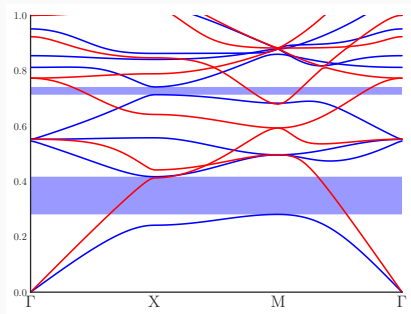
- Jednačba 8 predstavlja jednačbu koja služi za proračun disperzijskog dijagrama, odnosno nalaženje svojstvene vrijednosti  $\omega(\beta)$ .

# Proračun disperzijskog dijagrama fotoničkih kristala

---

# Disperzijski dijagrami općenito

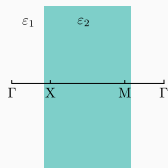
- Na osi x nalazi se iznos valnog vektora  $\beta$ .
- Na osi y nalazi se frekvencija izraženu kao  $\omega a/2\pi c$ .
- Na slikama su označene **TE** i **TM** komponenta.
- Dielektrični kontrast će u svim primerima iznositi 12.



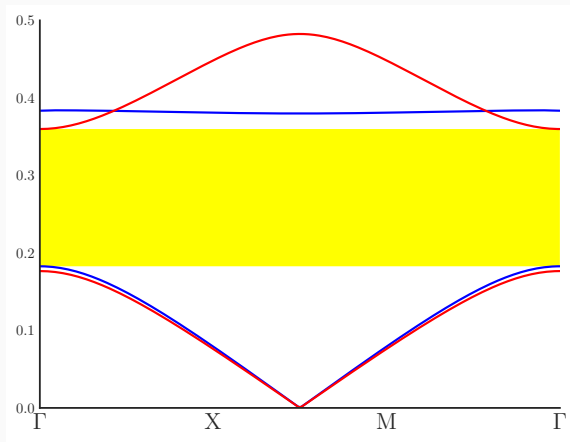
**Slika 4:** Primjer disperzijskog dijagrama.



# Jednodimenzionalni fotonički kristal



**(a)** Primitivna jedinična ćelija.



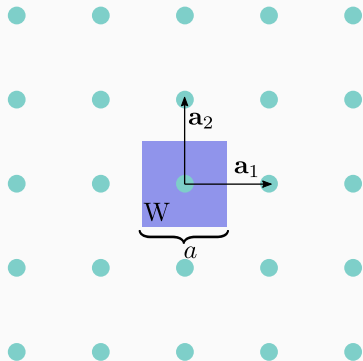
**(b)** Disperzijski dijagram za kristal prikazan lijevo.

**Slika 5:** Fotonički zabranjeni pojas u jednodimenzionalnoj strukturi.

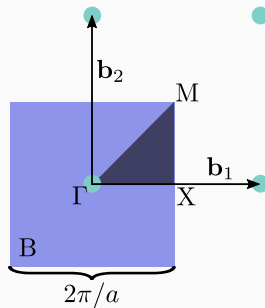
- Val čija se frekvencija nalazi unutar fotoničkog zabranjenog pojasa i čija amplituda eksponencijalno teži u 0.

$$\mathbf{E}(\mathbf{r}) = \mathbf{A}_\beta(\mathbf{r}) \cdot e^{i(\beta + i\kappa) \cdot \mathbf{r}} = \mathbf{A}_\beta(\mathbf{r}) \cdot e^{i\beta \cdot \mathbf{r}} e^{-\kappa \cdot \mathbf{r}} \quad (9)$$

# Kvadratna rešetka dielektričnih stupića



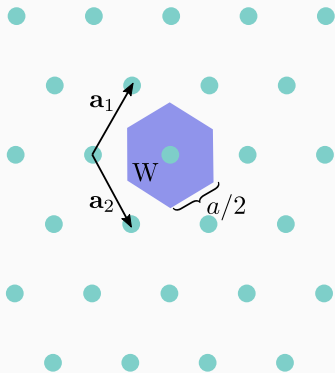
**(a)** Kvadratna rešetka u realnom prostoru s ucrtanim baznim vektorima i označenom Wigner-Seitzovom ćelijom



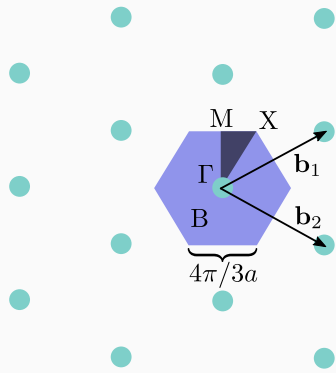
**(b)** Kvadratna rešetka u inverznom prostoru s označenom prvom Brillouinovom zonom.

**Slika 6:** Polumjer stupića u ovom modelu kristala iznosi  $0.2 a$

# Heksagonalna rešetka za fotonički zabranjeni pojas



**(a)** Heksagonalna rešetka u realnom prostoru s ucrtanim baznim vektorima i označenom Wigner-Seitzovom ćelijom



**(b)** Heksagonalna rešetka u inverznom prostoru s označenom prvom Brillouinovom zonom.

Demonstracija izračuna disperzijskog  
dijagrama ranije opisanih fotoničkih kristala.

## "Heuristike" za ciljane zabranjene pojaseve

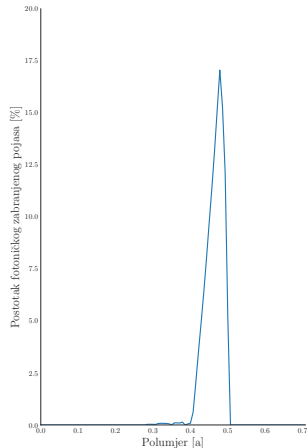
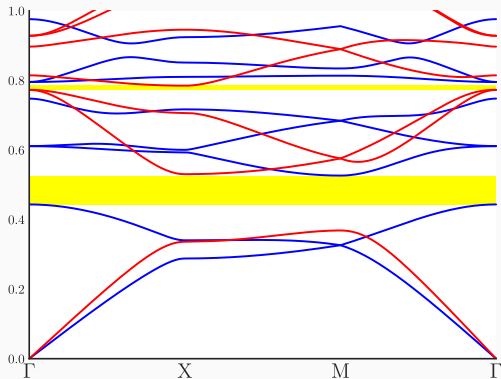
- Više simetrična rešetka ima za posljedicu manju prvu Brillouinovu zonu kao i veće zabranjene pojaseve.
- Dielektrični stupići uzrokuju frekvencijski zabranjeni pojas za **TE** mod.
- Međusobno povezana rešetka uzrokuje frekvencijski zabranjeni pojas za **TM** mod.
  - U trenutku kad su oba uvjeta ispunjena dolazi do preklapanja zabranjenih pojaseva, odnosno pojave *fotoničkog zabranjenog pojasa* (engl. *photonic band-gap*).

# Optimizacija širine zabranjenog pojasa

---

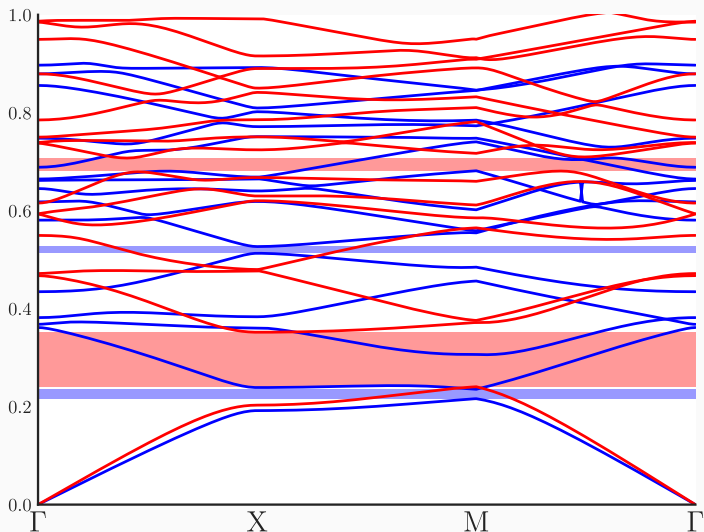
# Heksagonalna rešetka sa zračnim cilindrima

- Maksimum se poprima za polumjer 0.478547  $a$  i iznosi 17.05456%



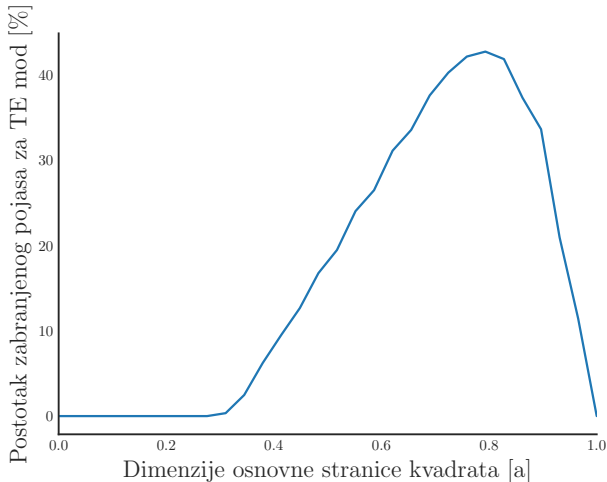


# Heksagonalna rešetka kvadratnih zračnih rupa



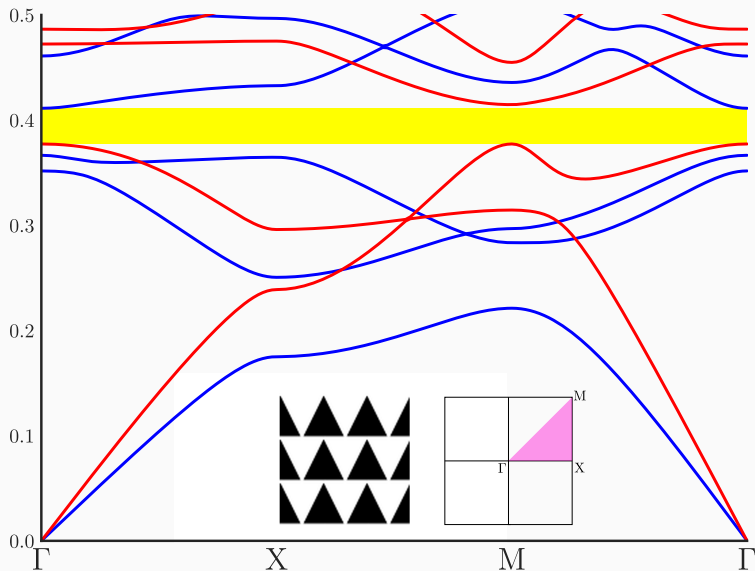
**Slika 7:** Dispersijski dijagram s optimalnom konfiguracijom za fotonički zabranjeni pojas. Postotak zabranjenog pojasa iznosi 0.692784%.

## Heksagonalna rešetka kvadratnih zračnih rupa (2)



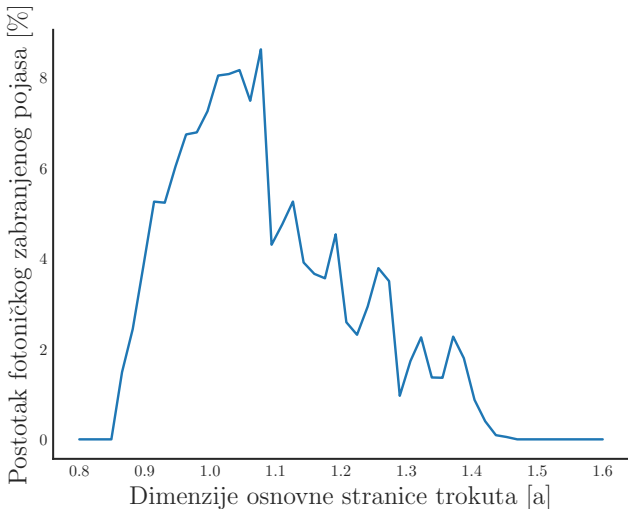
**Slika 8:** Optimizacija zabranjenog pojasa za TM mod i heksagonalnu rešetku sa zračnim kvadratnim blokovima. Maksimum iznosi 42.735761%.

# Kvadratna rešetka trokutastih zračnih rupa



# Kvadratna rešetka trokutastih zračnih rupa

- Maksimum se poprima za dimenzije stranice  $1.07755a$  i iznosi  $8.6301\%$ .



Hvala na pažnji! :-)

Pitanja?